

(19)日本国特許庁 (J P)

(12) 公開特許公報 (A)

(11)特許出願公開番号

特開2002-326034

(P2002-326034A)

(43)公開日 平成14年11月12日(2002.11.12)

(51)Int.Cl. ⁷	識別記号	F I	テーマート*(参考)	
B 0 1 J 35/04	3 0 1	B 0 1 J 35/04	3 0 1 B	3 G 0 9 0
			3 0 1 P	3 G 0 9 1
B 0 1 D 39/20		B 0 1 D 39/20	D	4 D 0 1 9
53/86		B 2 8 B 3/26	A	4 D 0 4 8
B 2 8 B 3/26		F 0 1 N 3/02	3 0 1 B	4 G 0 5 4
審査請求 未請求 請求項の数30 O L (全 15 頁) 最終頁に続く				

(21)出願番号 特願2001-134732(P2001-134732)

(22)出願日 平成13年5月1日(2001.5.1)

(71)出願人 000004064

日本碍子株式会社

愛知県名古屋市長区瑞穂区須田町2番56号

(72)発明者 加藤 靖

愛知県名古屋市長区瑞穂区須田町2番56号 日

本碍子株式会社内

(72)発明者 野口 康

愛知県名古屋市長区瑞穂区須田町2番56号 日

本碍子株式会社内

(74)代理人 100088616

弁理士 渡邊 一平

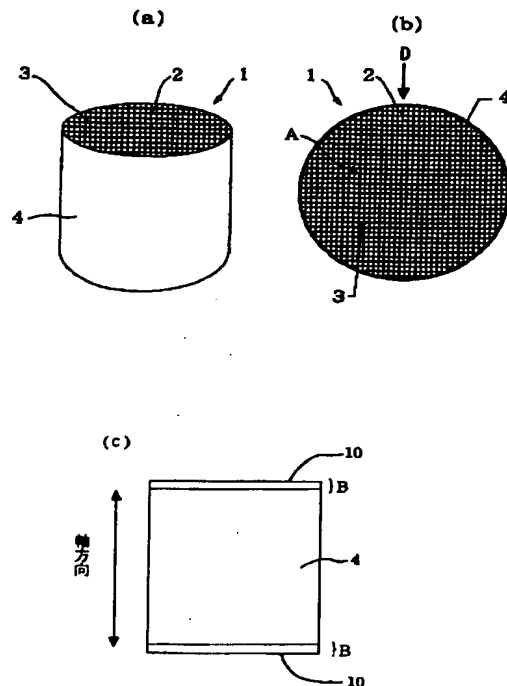
最終頁に続く

(54)【発明の名称】 多孔質ハニカム構造体及びその製造方法

(57)【要約】 (修正有)

【課題】 ハニカム構造体の浄化性能の向上と耐エロージョン性、キャニング性向上の要求をバランスよく満たし、自動車排気ガス浄化触媒用担体等として特に好適なハニカム構造体の提供。

【解決手段】 複数のそれぞれ隣接したセル3の複合体を形成する多孔質のセル隔壁2と、このセル複合体の最外周に位置する最外周セルを囲繞して保持する多孔質のハニカム外壁4とから構成されたハニカム構造体。気孔率が30%未満であり、且つ前記隔壁の基本壁厚(T_c)が $T_c < 0.076\text{mm}$ であるとともに、外壁の平均表面粗さ(R_{a_s})が $0.5\mu\text{m}$ 以上及び/又は外壁表面の極大点から次の極小点までの平均高さ(R_{zDIN_s})が $5\mu\text{m}$ 以上のハニカム構造体。構造体はタルク成分とカオリン成分を含み、タルク成分は $7\mu\text{m}$ 以上の平均粒径を有する粗粒とそれ以下の微粒を含み、カオリン成分は、 $7\mu\text{m}$ 以上の粗粒とそれ以下の微粒を含む。



BEST AVAILABLE COPY

【特許請求の範囲】

【請求項 1】 複数のそれぞれ隣接したセルの複合体を形成する多孔質のセル隔壁と、このセル複合体の最外周に位置する最外周セルを圍繞して保持する多孔質のハニカム外壁とから構成されたハニカム構造体であって、気孔率が 5%以上 30%未満であり、且つ前記隔壁の基本壁厚 (T_c) が $0.030\text{ mm} \leq T_c < 0.076\text{ mm}$ であるとともに、外壁の平均表面粗さ (R_{a_s}) が $0.5\text{ }\mu\text{ m} \leq R_{a_s} \leq 10\text{ }\mu\text{ m}$ 及び/又は外壁表面の極大点から次の極小点までの平均高さ (R_{zDIN_s}) が $5\text{ }\mu\text{ m} \leq R_{zDIN_s} \leq 50\text{ }\mu\text{ m}$ であることを特徴とするハニカム構造体。

【請求項 2】 前記平均表面粗さ (R_{a_s}) が $0.5\text{ }\mu\text{ m} \leq R_{a_s} \leq 10\text{ }\mu\text{ m}$ であり、且つ前記極大点から次の極小点までの平均高さ (R_{zDIN_s}) が $5\text{ }\mu\text{ m} \leq R_{zDIN_s} \leq 50\text{ }\mu\text{ m}$ であることを特徴とする請求項 1 に記載のハニカム構造体。

【請求項 3】 前記平均表面粗さ (R_{a_s}) が $1.0\text{ }\mu\text{ m} \leq R_{a_s} \leq 10\text{ }\mu\text{ m}$ であり、且つ前記極大点から次の極小点までの平均高さ (R_{zDIN_s}) が $10\text{ }\mu\text{ m} \leq R_{zDIN_s} \leq 50\text{ }\mu\text{ m}$ であることを特徴とする請求項 1 に記載のハニカム構造体。

【請求項 4】 ハニカム構造体の開口率 (P) が 83%以上であることを特徴とする請求項 1 乃至 3 の何れか 1 項に記載のハニカム構造体。

【請求項 5】 ハニカム構造体の外壁厚さ (T_s) が 0.076 mm 以上であることを特徴とする請求項 1 乃至 4 の何れか 1 項に記載のハニカム構造体。

【請求項 6】 前記外壁の平均表面細孔径が平均内部細孔径よりも大きいことを特徴とする請求項 1 乃至 5 の何れか 1 項に記載のハニカム構造体。

【請求項 7】 前記セル隔壁の平均表面粗さ (R_{a_c}) が $0.5\text{ }\mu\text{ m} \leq R_{a_c} \leq 10\text{ }\mu\text{ m}$ 及び/又は前記セル隔壁表面の極大点から次の極小点までの平均高さ (R_{zDIN_c}) が $5\text{ }\mu\text{ m} \leq R_{zDIN_c} \leq 50\text{ }\mu\text{ m}$ であることを特徴とする請求項 1 乃至 6 の何れか 1 項に記載のハニカム構造体。

【請求項 8】 ハニカム構造体において、 $1\text{ }\mu\text{ m}$ 以上の細孔径を有する細孔が全細孔容積の 90% 以上であることを特徴とする請求項 1 乃至 7 の何れか 1 項に記載のハニカム構造体。

【請求項 9】 前記最外周セルを 1 番目の第 1 の起点セルとして、そこから内方に連続する 5~20 番目の範囲内のいずれかの第 1 の終点セルまでの、それぞれのセル隔壁厚さ ($T_{r1} \sim T_{r5 \sim 20}$) が、前記基本セル隔壁厚さ (T_c) との間に、 $1.10 \leq (T_{r1} \sim T_{r5 \sim 20}) / T_c \leq 3.00$ の関係を有することを特徴とする請求項 1 乃至 8 の何れか 1 項に記載のハニカム構造体。

【請求項 10】 前記最外周セルを 1 番目の第 1 の起点セルとして、そこから内方に連続する 5~15 番目の範

囲内のいずれかの第 1 の終点セルまでの、それぞれのセル隔壁厚さ ($T_{r1} \sim T_{r5 \sim 15}$) が、基本セル隔壁厚さ (T_c) との間に、 $1.10 \leq (T_{r1} \sim T_{r5 \sim 15}) / T_c \leq 3.00$ の関係を有することを特徴とする請求項 9 に記載のハニカム構造体。

【請求項 11】 前記第 1 の終点セルに内方で隣接する次のセルを 1 番目の第 2 の起点セルとして、そこから内方に連続する 3~5 番目の範囲内のいずれかの第 2 の終点セルまでのそれぞれのセル隔壁厚さを実質的に一様厚さとなるように、内方に向かって順次薄くなるように変化させ、その最薄部の厚さを基本セル隔壁厚さ (T_c) と一致させたことを特徴とする請求項 9 又は 10 に記載のハニカム構造体。

【請求項 12】 前記第 1 の終点セルに内方で隣接する次のセルを 1 番目の第 2 の起点セルとして、そこから内方に連続する 3~5 番目の範囲内のいずれかの第 2 の終点セルまでのそれぞれのセル隔壁厚さを、それぞれのセル隔壁の断面が逆台形状になるように、内方に向かって順次薄くなるように変化させ、その最薄部の厚さを基本セル隔壁厚さ (T_c) と一致させたことを特徴とする請求項 9 又は 10 に記載のハニカム構造体。

【請求項 13】 前記第 1 の終点セルに内方で隣接する次のセルを 1 番目の第 2 の起点セルとして、そこから内方に連続する 3~5 番目の範囲内のいずれかの第 2 の終点セルまでのそれぞれのセル隔壁厚さを、それぞれのセル隔壁の断面が糸巻き状に、内方に向かって順次薄くなるように変化させ、その最薄部の厚さを基本セル隔壁厚さ (T_c) と一致させたことを特徴とする請求項 9 又は 10 に記載のハニカム構造体。

【請求項 14】 最外周セルのセル隔壁厚さ (T_{r1}) が、前記基本セル隔壁厚さ (T_c) との間に、 $1.10 \leq T_{r1} / T_c \leq 3.00$ の関係を有するとともに、最外周セルを 1 番目の第 3 の起点セルとして、そこから内方に連続する 5~20 番目の範囲内のいずれかの第 3 の終点セルまでの、それぞれのセル隔壁厚さ ($T_{r1} \sim T_{r5 \sim 20}$) が、基本セル隔壁厚さ (T_c) との間に、 $1.10 \leq (T_{r1} \sim T_{r5 \sim 20}) / T_c \leq 3.00$ の関係を有し、それぞれのセル隔壁の断面が逆台形状、又は糸巻き状、或いは一様厚さになるように、内方に向かって順次薄くなるように変化させ、その最薄部の厚さを基本セル隔壁厚さ (T_c) と一致させることを特徴とする請求項 9 に記載のハニカム構造体。

【請求項 15】 前記セル隔壁厚さ ($T_{r1} \sim T_{r5 \sim 20}$) のそれぞれが、前記基本セル隔壁厚さ (T_c) との間に、 $1.10 \leq (T_{r1} \sim T_{r5 \sim 20}) / T_c \leq 2.50$ の関係を有することを特徴とする請求項 9 乃至 14 の何れか 1 項に記載のハニカム構造体。

【請求項 16】 前記セル隔壁厚さ ($T_{r1} \sim T_{r5 \sim 20}$) のそれぞれが、前記基本セル隔壁厚さ (T_c) との間に、 $1.20 \leq (T_{r1} \sim T_{r5 \sim 20}) / T_c$

≦ 1.60 の関係を有することを特徴とする請求項 9 乃至 14 の何れか 1 項に記載のハニカム構造体。

【請求項 17】 ハニカム構造体の軸方向に対する垂直断面積が 160 cm^2 以上であり、かつ最外周セルを 1 番目の第 1 の起点セルとして、そこから内方に連続する 10～40 番目の範囲内のいずれかの第 1 の終点セルまでの、それぞれのセル隔壁厚さ ($T_{r1} \sim T_{r10 \sim 40}$) が、基本セル隔壁厚さ (T_c) との間に、 $1.10 \leq (T_{r1} \sim T_{r10 \sim 40}) / T_c \leq 3.00$ の関係を有することを特徴とする請求項 9 乃至 16 の何れか 1 項に記載のハニカム構造体。

【請求項 18】 ハニカム構造体の一方又は両方の開口端面から 30mm 以内の隔壁部分の一部又は全部における気孔率 (%) の値が他の隔壁部分における気孔率 (%) の値より 5 以上小さいことを特徴とする請求項 1 乃至 17 の何れか 1 項に記載のハニカム構造体。

【請求項 19】 前記気孔率の値が 5 以上小さい隔壁部分の開口端面からの長さが一様でないことを特徴とする請求項 18 に記載のハニカム構造体。

【請求項 20】 ハニカム構造体の一方又は両方の開口端面におけるセル隔壁の壁厚が、その他の部分におけるセル隔壁の壁厚よりも厚いことを特徴とする請求項 1 乃至 19 の何れか 1 項に記載のハニカム構造体。

【請求項 21】 前記 T_c が $T_c \leq 0.056\text{ mm}$ であることを特徴とする請求項 9 乃至 20 の何れか 1 項に記載のハニカム構造体。

【請求項 22】 B 軸曲げ強度が 0.8 MPa 以上であることを特徴とする請求項 1 乃至 21 の何れか 1 項に記載のハニカム構造体。

【請求項 23】 ハニカム構造体が、コーージェライト、アルミナ、ムライト、窒化珪素、アルミニウムチタネート、ジルコニア及び炭化珪素からなる群から選ばれる 1 種又は 2 種以上の材料から形成されてなることを特徴とする請求項 1 乃至 22 の何れか 1 項に記載のハニカム構造体。

【請求項 24】 ハニカム構造体の断面形状が、円、楕円、長円、台形、三角形、四角形、六角形又は左右非対称な異形状であることを特徴とする請求項 1 乃至 23 の何れか 1 項に記載のハニカム構造体。

【請求項 25】 セルの断面形状が三角形又は六角形であることを特徴とする請求項 1 乃至 24 の何れか 1 項に記載のハニカム構造体。

【請求項 26】 ハニカム構造体が自動車排気ガス浄化触媒用担体に用いられることを特徴とする請求項 1 乃至 25 の何れか 1 項に記載のハニカム構造体。

【請求項 27】 ハニカム構造体のセル隔壁に触媒成分が担持され、外壁の外周面に把持されて、触媒コンバーターに組み込まれていることを特徴とする請求項 1 乃至 26 の何れか 1 項に記載のハニカム構造体。

【請求項 28】 ハニカム構造体のセル隔壁の交点が、

1. 2mm 以下の曲率半径を有するように形成されていることを特徴とする請求項 1 乃至 27 の何れか 1 項に記載のハニカム構造体。

【請求項 29】 前記セル隔壁と前記ハニカム外壁とが接する交点が、1. 2mm 以下の曲率半径を有するように形成されていることを特徴とする請求項 1 乃至 28 の何れか 1 項に記載のハニカム構造体。

【請求項 30】 複数のそれぞれ隣接したセルの複合体を形成する多孔質のセル隔壁と、このセル複合体の最外周に位置する最外周セルを囲繞して保持する多孔質のハニカム外壁とから構成された請求項 1 乃至 29 の何れか 1 項に記載されたハニカム構造体の製造方法であって、少なくともタルク成分とカオリン成分を含み、前記タルク成分が $7\text{ }\mu\text{m}$ 以上の平均粒径を有する粗粒タルクと前記粗粒タルクの $2/3$ 以下の平均粒径を有する微粒タルクを含み、且つ前記カオリン成分が $7\text{ }\mu\text{m}$ 以上の平均粒径を有する粗粒カオリンと前記粗粒カオリンの $2/3$ 以下の平均粒径を有する微粒カオリンを含む原料を用いて製造することを特徴とするハニカム構造体の製造方法。

【発明の詳細な説明】

【0001】

【発明の属する技術分野】 本発明は、多孔質ハニカム構造体及びその製造方法に関し、特に浄化性能と端面の耐久性及びキャニング性のバランスの取れた、特に自動車排ガス浄化用担体等に好適なハニカム構造体及びその製造方法に関する。

【0002】

【従来の技術】 多孔質ハニカム構造体は、自動車排ガス浄化用触媒担体などの触媒担体、ディーゼルエンジン排ガス用フィルターなどのフィルター等に広く用いられている。この様な自動車エンジン等の排ガス浄化用等に用いられる場合、環境問題への配慮から、排ガス規制が年々強化される傾向にあり、これに対応すべく排ガス浄化触媒には浄化性能の向上が求められている。他方、エンジン開発の面からは、低燃費、高出力化の指向が顕著に示されており、このような状況に対応すべく、排ガス浄化触媒には圧力損失の低減も求められている。そこで、そうした問題を解決するために、ハニカム構造体は、その隔壁の厚さをいっそう薄くすることで、通気性を高めて圧力損失を低減しつつ、しかも排ガス浄化触媒を軽量化して熱容量を低減し、暖機時の浄化性能を向上させる動きが強まっている。

【0003】 一方、エンジンから排出される排ガス中には種々の異物が入る場合があり、これらによってハニカム構造体が削り取られる（エロージョン）という問題があり耐エロージョン性の改良も求められている。

【0004】 この様な低熱容量化、圧力損失等の浄化性能の向上と耐エロージョン性の向上は一般に相反するものであり、例えば低熱容量化を実現するために、ハニカム構造体の気孔率を向上させたり壁厚を薄くするとハ

ニカム構造体としての強度が低下し耐エロージョン性が低下する。

【0005】 また、この様な用途においては、ハニカム構造体を金属製のキャンなどに把持材を介して把持して使用されるが、使用の際にキャンとハニカム構造体のずれが起こらないよう一定の強度で把持する必要があるが、これに耐える強度又は低い把持力でもずれが起こらないような、キャンニング性の向上が求められている。

【0006】 耐エロージョン性を解決する手段としては、例えば特開 2000-51710 号公報に、開口端面近傍の隔壁のみを肉厚にしたハニカム構造体、ハニカム構造の基材の開口端面に釉薬、水ガラス等のガラス成分を塗布・焼成することにより開口端面が緻密化されたハニカム構造体が記載されている。しかしながら、同号公報には開口端面の気孔率が 5~35%と記載されているものの、その他の部分の気孔率が 36%のハニカム構造体しか開示されておらずこれでは低熱容量化と耐エロージョン性、キャンニング性の両立が図れない。また、気孔率と隔壁厚さと表面粗さの関係については何ら述べられていない。

【0007】 キャンニング性を改良するために、特開平 2-207846 号公報には、ハニカム構造体を押し出す際に振動を与える方法により外壁表面に凹凸を設けたハニカム構造体が開示されている。しかしこの方法は、隔壁厚さが薄くなると押出の際に隔壁が切れてしまう問題があるため隔壁の薄いハニカム構造体に適用することは困難である。また、特開平 2-86847 号公報にはサンドブラストやセラミック原料を表面に吹き付けることにより外壁表面に凹凸を設けるとともに凹凸面の粗さが他の面よりも粗いハニカム構造体及びその製造方法が提案されている。しかし、この方法では、追加の工程が必要となり経済的に好ましくない。また、これらの公報でも、気孔率と隔壁厚さと表面粗さの関係については何ら述べられてなく、耐エロージョン性や低熱容量化について検討されていない。

【0008】

【発明が解決しようとする課題】 本発明は上述の問題に鑑みてなされたものであり、ハニカム構造体の浄化性能の向上と耐エロージョン性、キャンニング性向上の要求をバランスよく満たし、自動車排気ガス浄化触媒用担体等として特に好適なハニカム構造体を提供することを目的とする。本発明は、さらに上記ハニカム構造体、特に気孔率が小さく、且つキャンニング性の良好なハニカム構造体の製造方法を提供することを目的とする。

【0009】

【課題を解決するための手段】 本発明者は、上述の目的を達成するため各種試験を含む研究を行った結果、一般に、低熱容量化を達成するためには気孔率を大きくし、セル隔壁を薄くする必要があるが、耐エロージョン性を向上させるにはその逆にする必要があるが、隔壁厚さ

が薄くなると、気孔率の耐エロージョン性に与える影響がより大きくなることを見出し、同じ熱容量を達成する場合に隔壁を薄くし、気孔率を小さくすることにより、良好な耐エロージョン性が得られることを見出した。また、気孔率を 30%未満に抑えるとキャンニング性が低下するが、この原因は外壁表面が平滑になったためであることを見出し、平均表面粗さ (Ra_s) を $0.5\mu m \leq Ra_s \leq 10\mu m$ 及び/又は外壁表面の極大点から次の極小点までの平均高さ ($Rz DIN_s$) を $5\mu m \leq Rz DIN_s \leq 50\mu m$ とすることによりキャンニング性を改良できることを見出すとともに細孔径が $1\mu m$ 以上の細孔が全細孔容積の 90%以上とすることにより上記 Ra_s 及び $Rz DIN_s$ を達成できることを見出した。第 1 の発明は上記知見に基づくものである。

【0010】 即ち、第一の発明は、複数のそれぞれ隣接したセルの複合体を形成する多孔質のセル隔壁と、このセル複合体の最外周に位置する最外周セルを囲繞して保持する多孔質のハニカム外壁とから構成されたハニカム構造体であって、気孔率が 5%以上 30%未満であり、且つ前記隔壁の基本壁厚 (Tc) が $0.030mm \leq Tc < 0.076mm$ であるとともに、外壁の平均表面粗さ (Ra_s) が $0.5\mu m \leq Ra_s \leq 10\mu m$ 及び/又は外壁表面の極大点から次の極小点までの平均高さ ($Rz DIN_s$) が $5\mu m \leq Rz DIN_s \leq 50\mu m$ であることを特徴とするハニカム構造体を提供するものである。

【0011】 本発明において、 Ra_s が $0.5\mu m \leq Ra_s \leq 10\mu m$ であり、且つ $Rz DIN_s$ が $5\mu m \leq Rz DIN_s \leq 50\mu m$ 、好ましくは Ra_s が $1.0\mu m \leq Ra_s \leq 10\mu m$ であり、且つ $Rz DIN_s$ が $10\mu m \leq Rz DIN_s \leq 50\mu m$ であることがキャンニング性をさらに向上させる点で好ましく、ハニカム構造体の開口率 (P) が 83%以上であることが熱容量及び圧力損失を低下させ浄化性能を向上させる点で好ましい。また、外壁の厚さは $0.076mm$ 以上であることがキャンニング性向上の観点から好ましい。また、外壁の平均表面細孔径が平均内部細孔径よりも大きいことが Ra_s 及び $Rz DIN_s$ を大きくする点で好ましい。また、セル隔壁の平均表面粗さ (Ra_c) が $0.5\mu m$ 以上及び/又はセル隔壁表面の極大点から次の極小点までの平均高さ ($Rz DIN_c$) が $5\mu m$ 以上であることが触媒の担持力を向上させる点で好ましい。さらに、ハニカム構造体において、 $1\mu m$ 以上の細孔径を有する細孔が全細孔容積の 90%以上であることが、 Ra 及び $Rz DIN$ を大きくする点で好ましい。

【0012】 また、最外周セルを 1 番目の第 1 の起点セルとして、そこから内方に連続する 5~20 番目、好ましくは 5~15 番目の範囲内のいずれかの第 1 の終点セルまでの、それぞれのセル隔壁厚さ ($Tr_1 \sim Tr_{5 \sim 20}$) が、前記基本セル隔壁厚さ (Tc) との間に、 $1.10 \leq (Tr_1 \sim Tr_{5 \sim 20}) / Tc \leq 3.00$ 、好

ましくは $1.10 \leq (Tr_1 \sim Tr_{5 \sim 20}) / Tc \leq 2.50$ 、さらに好ましくは $1.20 \leq (Tr_1 \sim Tr_{5 \sim 20}) / Tc \leq 1.60$ の関係を有することが、耐エロージョン性をさらに改良するとともに、アイソスタティック強度を向上させることによりキャニング性を向上させる点で好ましい。この場合において、第1の終点セルに内方で隣接する次のセルを1番目の第2の起点セルとして、そこから内方に連続する3～5番目の範囲内のいずれかの第2の終点セルまでのそれぞれのセル隔壁厚さを実質的に一様厚さ、逆台形状又は糸巻き状となるように内方に向かって順次薄くなるように変化させ、その最薄部の厚さを基本セル隔壁厚さ(Tc)と一致させることが好ましい。

【0013】 また、最外周セルのセル隔壁厚さ(Tr_1)が、前記基本セル隔壁厚さ(Tc)との間に、 $1.10 \leq Tr_1 / Tc \leq 3.00$ の関係を有するとともに、最外周セルを1番目の第3の起点セルとして、そこから内方に連続する5～20番目の範囲内のいずれかの第3の終点セルまでの、それぞれのセル隔壁厚さ($Tr_1 \sim Tr_{5 \sim 20}$)が、基本セル隔壁厚さ(Tc)との間に、 $1.10 \leq (Tr_1 \sim Tr_{5 \sim 20}) / Tc \leq 3.00$ 、好ましくは $1.10 \leq (Tr_1 \sim Tr_{5 \sim 20}) / Tc \leq 2.50$ 、さらに好ましくは $1.20 \leq (Tr_1 \sim Tr_{5 \sim 20}) / Tc \leq 1.60$ の関係を有し、それぞれのセル隔壁の断面が逆台形状、又は糸巻き状、或いは一様厚さになるように、内方に向かって順次薄くなるように変化させ、その最薄部の厚さを基本セル隔壁厚さ(Tc)と一致させることも好ましい。

【0014】 ハニカム構造体の断面積が 160 cm^2 以上の場合、最外周セルを1番目の第1の起点セルとして、そこから内方に連続する10～40番目の範囲内のいずれかの第1の終点セルまでの、それぞれのセル隔壁厚さ($Tr_1 \sim Tr_{10 \sim 40}$)が、基本セル隔壁厚さ(Tc)との間に、 $1.10 \leq (Tr_1 \sim Tr_{10 \sim 40}) / Tc \leq 3.00$ 、好ましくは $1.10 \leq (Tr_1 \sim Tr_{10 \sim 40}) / Tc \leq 2.50$ 、さらに好ましくは $1.20 \leq (Tr_1 \sim Tr_{10 \sim 40}) / Tc \leq 1.60$ の関係を有することが好ましい。

【0015】 さらに、ハニカム構造体の一方又は両方の開口端面から30mm以内の隔壁部分の一部又は全部における気孔率(%)の値が他の隔壁部分における気孔率(%)の値より5以上小さいことが端面の耐エロージョン性を向上させる点で好ましく、気孔率の値が小さい部分の開口端面からの長さが一様でないことも耐エロージョン性と低熱容量の両立をはかる点で好ましい。さらに、ハニカム構造体の一方又は両方の開口端面におけるセル隔壁の壁厚が、その他の部分におけるセル隔壁の壁厚よりも厚いことも耐エロージョン性を向上させる点で好ましい。

【0016】 この様に、ハニカム構造体の外周付近の

セル隔壁を厚くすること、及び／又は開口端面を強化することにより基本壁厚(Tc)をさらに薄くすることが出来、 $Tc \leq 0.056 \text{ mm}$ とすることが低熱容量化をはかる上で好ましい。

【0017】 さらに、本発明のハニカム構造体は、B軸の曲げ強度が 0.8 MPa 以上であることが好ましく、コーゼライト、アルミナ、ムライト、窒化珪素、アルミニウムチタネート、ジルコニア及び炭化珪素からなる群から選ばれる1種又は2種以上の材料から形成されてなることが好ましい。また、ハニカム構造体の断面形状が、円、楕円、長円、台形、三角形、四角形、六角形又は左右非対称な異形状であることが好ましく、セルの断面形状が三角形又は六角形であることも好ましい。さらに、ハニカム構造体のセル隔壁の交点が、 1.2 mm 以下の曲率半径を有するように形成されていることが好ましく、セル隔壁と外壁とが接する交点が 1.2 mm 以下の曲率半径を有するように形成されていることも好ましい。

【0018】 本発明のハニカム構造体は、自動車排気ガス浄化触媒用担体に用いられることが好ましく、セル隔壁に触媒成分が担持され外壁の外周面で把持されて触媒コンバーターに組み込まれていることも好ましい。

【0019】 本発明者等は、上記の特性を有するハニカム構造体の製造方法について検討を行った結果、原料として特定の粒径のタルク及びカオリンを組み合わせるにより、表面粗さを粗くしつつ気孔率を小さくしたハニカム構造体を経済的に製造できることを見出した。

【0020】 即ち、第2の発明は、複数のそれぞれ隣接したセルの複合体を形成する多孔質のセル隔壁と、このセル複合体の最外周に位置する最外周セルを囲繞して保持する多孔質のハニカム外壁とから構成された請求項1乃至29の何れか1項に記載されたハニカム構造体の製造方法であって、少なくともタルク成分とカオリン成分を含み、前記タルク成分が $7 \mu\text{m}$ 以上の平均粒径を有する粗粒タルクと前記粗粒タルクの $2/3$ 以下の平均粒径を有する微粒タルクを含み、且つ前記カオリン成分が $7 \mu\text{m}$ 以上の平均粒径を有する粗粒カオリンと前記粗粒カオリンの $2/3$ 以下の平均粒径を有する微粒カオリンを含む原料を用いて製造することとを特徴とするハニカム構造体の製造方法を提供するものである。

【0021】

【発明の実施の形態】 以下、本発明を好適な実施の形態に基づいて説明するが本発明は以下の実施の形態に限定されるものではない。

【0022】 本発明のハニカム構造体1は、図1(a)、(b)及び(c)に示すように軸方向に貫通する複数のそれぞれ隣接したセル3を形成する多孔質のセル隔壁2と、多孔質のハニカム外壁4とから構成される。なお、本発明において、断面とは特に断りのない限

り、軸方向に対する垂直断面を意味する。

【0023】 本発明の特徴は、ハニカム構造体1を構成するセル隔壁2と外壁4の全体の気孔率が5%以上30%未満であること、隔壁2の厚さ(Ts)が $0.030\text{mm} \leq Tc < 0.076\text{mm}$ であること、外壁4の平均表面粗さ(Ra)が $0.5\mu\text{m} \leq Ra \leq 10\mu\text{m}$ 及び/又は外壁4表面の極大高さから次の極小高さまでの平均高さ(Rz DIN)が $5\mu\text{m} \leq Rz DIN \leq 50\mu\text{m}$ であることの3つの要件を同時に満たすことである。気孔率を5%以上30%未満とし、かつTsを $0.030\text{mm} \leq Tc < 0.076\text{mm}$ とすることにより、低熱容量化を達成しつつ耐エロージョン性を改良することが出来る。この場合において、気孔率を30%未満とすると、壁面が平滑になりすぎ、キャニング性が低下するがRaを $0.5\mu\text{m} \leq Ra \leq 10\mu\text{m}$ 及び/又はRz DINが $5\mu\text{m} \leq Rz DIN \leq 50\mu\text{m}$ とすることにより、良好なキャニング性が得られる。気孔率が5%未満では、熱容量が大きくなりすぎ、気孔率が30%以上では、エロージョン量が大きくなりすぎる。Tcが 0.076mm 以上では、熱容量が大きくなりすぎ、 0.030mm 未満では隔壁の強度が不足し、エロージョン量が大きくなりすぎる。ここで、気孔率を30%以上とし、Tcを 0.076mm 未満としても本発明のものと同様の熱容量を得ることは可能であるが、この場合にはエロージョン量が大きくなりすぎる。また、Raが $0.5\mu\text{m}$ 未満且つ、Rz DINが $5\mu\text{m}$ 未満ではキャニング性が低下しすぎ、Raが $10\mu\text{m}$ より大きく、且つRz DINが $50\mu\text{m}$ より大きいと、凹凸が大きすぎ、径のバラツキが大きくなりすぎるとともに、ハニカム構造対中の気孔が多くなりすぎ強度が低下し破損しやすくなる。本発明において、 $0.5\mu\text{m} \leq Ra \leq 10\mu\text{m}$ であること及び $5\mu\text{m} \leq Rz DIN \leq 50\mu\text{m}$ であることを同時に満たすことが好ましく、さらに $1.0\mu\text{m} \leq Ra \leq 10\mu\text{m}$ であること及び $10\mu\text{m} \leq Rz DIN \leq 50\mu\text{m}$ であることを同時に満たすことが好ましい。

【0024】 本発明において、気孔率とは、セル隔壁2及び外壁4を形成する多孔質体全体の体積に対する多孔質体中の細孔(空孔)の体積を100分率で示したものである。また、基本壁厚(Tc)とは、ハニカム構造体1のセル隔壁の最も薄い壁厚をいう。本発明において、壁厚は全体に一樣であることが好ましいが、外周部側のセル隔壁の壁厚を厚くする場合は、それ以外の内側部分のセル隔壁の壁厚を一樣とすることが好ましく、この場合において該内側部分の壁厚が基本壁厚(Tc)となる。また、ハニカム構造体の開口端面10近傍の壁厚を厚くする場合にはその部分を除いて一樣の壁厚とすることが好ましく、この場合において、開口端面10近傍の隔壁を除いた隔壁の壁厚が基本壁厚(Tc)となる。また、平均表面粗さ(Ra)とは、後述の実施例におい

て説明される条件で測定して得られた結果を基に平均線からの変位量の平均として算出されたものであり、Rz DINとは、上記と同じ条件で測定した範囲内において極大を示す任意の山状部分の頂点の高さから次の極小を示す谷状部分の最下点の高さの差の平均として算出されたものである。ここで、Ra及びRz DINは各々外壁4のRa及びRz DINを示し、Ra及びRz DINは各々セル隔壁2のRa及びRz DINを示す。

【0025】 本発明において、外壁4の平均表面細孔径が平均内部細孔径よりも大きいことがRa及びRz DINを大きくする点で好ましい。ここで、平均表面細孔径とは、開口細孔として外壁4の表面に表れている細孔の平均径を意味し、平均内部細孔径とは閉口細孔として外壁4の内部に存在する細孔の平均径を意味する。外壁4において細孔径の大きな細孔の比率を大きくすること、好ましくは細孔径が $1\mu\text{m}$ 以上の細孔が外壁4における全細孔の90%以上とすることにより平均表面細孔径を平均内部細孔径よりも大きくすることが出来る。

【0026】 本発明において、気孔率を30%未満とするとセル隔壁2の表面も平滑になりやすいが、セル隔壁の平均表面粗さ(Ra)を $0.5\mu\text{m} \leq Ra \leq 10\mu\text{m}$ 及び/又は(Rz DIN)を $5\mu\text{m} \leq Rz DIN \leq 50\mu\text{m}$ 、さらに好ましくは $1.0\mu\text{m} \leq Ra \leq 10\mu\text{m}$ 及び/又は $10\mu\text{m} \leq Rz DIN \leq 50\mu\text{m}$ とすることも好ましい。これにより、触媒を担持させる際の触媒の担持力が増加し、触媒の脱落が防止される。

【0027】 上記のように気孔率が5%以上30%未満とし、且つRaを $0.5\mu\text{m} \leq Ra \leq 10\mu\text{m}$ 、好ましくは $1.0\mu\text{m} \leq Ra \leq 10\mu\text{m}$ 及び/又はRz DINを $5\mu\text{m} \leq Rz DIN \leq 50\mu\text{m}$ 、好ましくは $10\mu\text{m} \leq Rz DIN \leq 50\mu\text{m}$ 、及び/又はセル隔壁2の平均表面粗さ(Ra)が $0.5\mu\text{m} \leq Ra \leq 10\mu\text{m}$ 及び/又はRz DINが $5\mu\text{m} \leq Rz DIN \leq 50\mu\text{m}$ とするために、本発明のハニカム構造体を構成するセル隔壁2及び外壁4において、 $1\mu\text{m}$ 以上の細孔径を有する細孔が全細孔容積の90%以上とすることが好ましい。細孔をこの様な構成とすることにより表面の微細な凹凸を作り出すことが出来、上記Ra及びRz DINを容易に達成することが出来る。

【0028】 また、本発明において、開口率が83%以上であると、圧力損失の低下を少なくし、熱容量も小さくすることが出来るため、本発明のハニカム構造体の浄化性能を向上させることが出来る。ここで開口率とはハニカム構造体開口端面10の面積に対してセル、即ち隔壁で仕切られた孔部が占める面積の比率を100分率で表したものを言う。開口率は、セル密度を減少させること及び/又はセル隔壁を薄くすることにより向上させることが出来る。また、外壁4の厚さを 0.076mm 以上とすることは、担体のキャニング時の強度を向上させることが出来るため好ましい。

【0029】 本発明において、図2に示すように外周部側のセル隔壁2aを厚くすることも耐エロージョン性を向上させる点で好ましい。また、外周部側のセル隔壁2を厚くすることによりアイソスタティック強度の向上が図られ、キャニング時の把持力を強くすることも出来るため、キャニング性も向上する。ここでアイソスタティック強度とは自動車規格JASO規格M505-87に準拠した試験により破壊時の加圧圧力値で示される強度である。図2において、外壁4に最も近接して最外周セル8があり、最外周セル8から内方に2番目のセル9が連続している。最外周セルの隔壁厚さを T_{r1} で、また、この2番目のセル9の隔壁厚さを T_{r2} で示す。図示はしないが、同様に5～15番目の範囲内のいずれかのセルの隔壁の厚さを T_{r5-15} で表す。なお、セル隔壁2は、外周セル隔壁2aと、基本セル隔壁2bとに大別される。

【0030】 本発明のハニカム構造体は、最外周セルを起点として、そこから内方に連続する5～15番目の範囲内のいずれかの終点セルまでの、それぞれのセル隔壁厚さ($T_{r1} \sim T_{r5-15}$)と、基本セル隔壁厚さ(T_c)との間の関係を、 $1.10 \leq (T_{r1} \sim T_{r5-15}) / T_c \leq 3.00$ のようすることが好ましい。この値 $[(T_{r1} \sim T_{r5-15}) / T_c]$ が、1.10未満であると、耐エロージョン性の向上に寄与せず、アイソスタティック強度の改善にも寄与しないためキャニング性の向上に寄与しない。また、3.00を超えると、熱容量及び圧力損失が増大する。また、1～4番目のセルの隔壁厚さ($T_{r1} \sim T_{r4}$)を特定の割合で厚くしても、耐エロージョン性やアイソスタティック強度の向上に寄与せず、15番目以降特に20番目以降のセルの隔壁厚さまでを特定の割合で厚くすると、圧力損失が増大するとともに、担体の質量が所定以上に増大することより、熱容量も増大し好ましくない。

【0031】 図3に示すように、本発明のセラミック製ハニカム構造体においては、第1の終点セルに内方で隣接する次のセルを1番目の第2の起点セルとして、そこから内方に連続する3～5番目の範囲内のいずれかの第2の終点セルまでのそれぞれのセル隔壁厚さを、それぞれのセル隔壁の断面が、逆台形状(図3(a))、糸巻き状(図3(b))、又は長方形(セルごとに一樣厚さ)(図3(c))で、かつ内方に向かって順次薄くなるように変化させ(薄くする比率は1.10～3.00の範囲内とすればよい)、その最薄部の厚さを基本セル隔壁厚さ(T_c)と一致させることが好ましい。このように構成することによって、熱容量や圧力損失の増加を抑えつつ耐エロージョン性の向上を図ることができる。

【0032】 また、本発明においては、最外周セルのセル隔壁厚さ(T_{r1})が、基本セル隔壁厚さ(T_c)との間に、 $1.10 \leq T_{r1} / T_c \leq 3.00$ の関係を

有するとともに、最外周セルを1番目の第3の起点セルとして、そこから内方に連続する5～20番目の範囲内のいずれかの第3の終点セルまでの、それぞれのセル隔壁厚さ($T_{r1} \sim T_{r5-20}$)が、基本セル隔壁厚さ(T_c)との間に、 $1.10 \leq (T_{r1} \sim T_{r5-20}) / T_c \leq 3.00$ の関係を有し、それぞれのセル隔壁の断面が、前述のように、逆台形状、糸巻き状、又は長方形で、かつ内方に向かって順次薄くなるように変化させ、その最薄部の厚さを基本セル隔壁厚さ(T_c)と一致させることが好ましい。このように構成することによって、圧力損失や耐熱衝撃性比の向上を図ることができる。

【0033】 また、本発明においては、セル隔壁厚さ($T_{r1} \sim T_{r5-20}$)のそれぞれを、基本セル隔壁厚さ(T_c)との間に、上述のように、 $1.10 \leq (T_{r1} \sim T_{r5-20}) / T_c \leq 2.50$ 、さらには $1.20 \leq (T_{r1} \sim T_{r5-20}) / T_c \leq 1.60$ の関係を有するようにさらに限定した条件とすることが、熱容量や圧力損失を考慮したときに実用上好ましい。

【0034】 また、近年ハニカム担体がトラック等の大型の車両にも搭載される機会が増加する傾向があり、ハニカム担体としても大型のものをを用いる必要が生じている。大型のハニカム担体の場合(ハニカム外壁の断面形状が円形の場合、その直径が約144mm以上、即ち断面積が約160cm²以上の場合)、最外周セルを1番目の第1の起点セルとして、第1の終点セルを、最外周セルから内方に連続する10～40番目、好ましくは、10～30番目の範囲内のいずれかのセルまでとして、全体的に肉厚化部分を延長し、それぞれのセル隔壁厚さ($T_{r1} \sim T_{r10-40}$)好ましくは($T_{r1} \sim T_{r10-30}$)の、基本セル隔壁厚さ(T_c)に対する比($T_{r1} \sim T_{r10-40}) / T_c$ 、好ましくは($T_{r1} \sim T_{r10-30}) / T_c$ を、通常は、1.10～3.00、実用上は、1.10～2.50、さらに実用上は、1.20～1.60となるように構成することが好ましい。

【0035】 本発明において、耐エロージョン性をさらに改良するために、開口端面10から軸方向に30mm以内の範囲Bにあるセル隔壁2の全部又は一部の気孔率の値を他の部分のセル隔壁の気孔率の値よりも5以上小さくすることが好ましい。これは、例えば通常のセル隔壁2(範囲B以外の部分のセル隔壁)の気孔率が28%の場合、範囲Bにあるセル隔壁2の一部又は全部の気孔率を23%以下とすることを意味する。この場合において、気孔率を小さくする開口端面10からの長さは一樣であっても良いが、各隔壁2ごとに0～30mmの間で任意の長さを取ること、即ちこの長さが一樣でないことが好ましい。一樣にしないことで、気孔率が変化する境界部分の応力集中を緩和することができる。

【0036】 また、上記範囲Bにあるセル隔壁2の全部又は一部の壁厚を他の部分のセル隔壁2の壁厚よりも

厚くすることも耐エロージョンをさらに向上させるために好ましく、この場合においても壁厚の厚い領域が各隔壁2ごとに0~30mmの間で任意の長さを取ることで、即ちこの長さが一様でないことが上記と同様応力集中を緩和する点で好ましい。

【0037】 上記のように、ハニカム構造体1の外周部側のセル隔壁を厚くしたり、開口端面10近傍の隔壁の気孔率を小さくしたり、外壁を厚くしたりすることは、特に隔壁の厚さが薄い場合に効果があり、この場合には隔壁厚さ T_c が $T_c \leq 0.056 \mu m$ であることが好ましい。

【0038】 また、B軸強度を0.8MPa以上とすることにより、排気ガス中の異物が隔壁に衝突した際の破損を低減することが出来、耐エロージョン性を向上させる上で好ましい。ここでB軸強度とは、JASO規格M505-87で規定されているものであって、軸方向に垂直かつセル隔壁に沿った方向で試料を切り出して測定された強度を意味する。

【0039】 本発明に用いられるセル隔壁及びハニカム外壁としては、例えば、コーゼライト、アルミナ、ムライト、窒化珪素、アルミニウムチタネート、ジルコニア及び炭化珪素からなる群から選ばれる少なくとも1種の材料から形成されてなるものを挙げることができる。

【0040】 また、本発明のハニカム構造体の断面形状としては、例えば、円、楕円、長円、台形、三角形、四角形、六角形又は左右非対称な異形状を挙げることができる。中でも、円、楕円、長円が好ましい。

【0041】 また、本発明に用いられるセルの断面の形状としては特に制限はないが、例えば、三角形以上の多角形状、例えば正方形、長方形、及び六角形とすることを挙げることができ、中でも、三角形、四角形又は六角形のうちのいずれかであることが好ましい。

【0042】 本発明のハニカム構造体の用途には特に限定はなく、各種フィルターや触媒担体などの各種用途に用いることが出来るが、自動車排気ガス浄化用担体に用いることが特に好ましい。また、本発明のハニカム構造体は、図4に示すように触媒コンバーター容器に組み込んで使用されることが好ましい。ここで、ハニカム構造体13はコンバーター容器11内において、その外周面でリング12により把持されて組み込まれている。リング12としては特に制限はないが、通常、金属メッシュ製のものが使用される。なお、コンバーター容器11とハニカム構造体13の外周面との間には、マット、クロス等の把持材14を介在させることが好ましい。

【0043】 また、ハニカム構造体の最外周セル隔壁と外壁とが接する個所を肉盛り（接点肉盛り）したり、隣接する隔壁が、隔壁間が狭まりながら外壁と接する個所で、少なくともそれらの隔壁間において外壁の内側に肉盛り（V字接続肉盛り）して、上述の、隔壁（セル隔

壁）形状の高精度化、アイソスタティック強度の向上等の効果を維持しつつ、セル隔壁の厚さを相対的に薄くしてもよい。具体的には、セルのコーナー部を、1.2mm以下の曲率半径を有するように形成することが好ましく、また、セル隔壁とハニカム外壁とが接する交点が、1.2mm以下の曲率半径を有するように形成することが好ましい。

【0044】 次に、本発明のハニカム構造体の製造方法について説明する。例えばコーゼライトを材質とするハニカム構造体は、例えば、タルク、カオリン、仮焼カオリン、アルミナ、水酸化アルミニウム、シリカの中から、化学組成が SiO_2 42~56重量%、 Al_2O_3 30~45重量%、 MgO 12~16重量%の範囲に入るように所定の割合に調合されたコーゼライト化原料に、造孔剤としてグラファイトを15~25重量%、及びPET、PMMA、架橋ポリスチレン、フェノール樹脂等の合成樹脂を5~15重量%添加し、メチルセルロース類、界面活性剤を所定量添加後、水を適宜加えて混練し坯土とする。次いで、この坯土を真空脱気後、ハニカム構造に押出成形し、誘電乾燥もしくはマイクロ波乾燥、熱風乾燥法により乾燥した後、最高温度を1400~1435℃の間で焼成するという一連の工程により、製造することができる。

【0045】 一般に、気孔率を30%以下とするためには、平均粒子径の小さいタルク、具体的には平均粒子径7 μm 以下のタルクとタルクの平均粒子径の1/3以下のカオリンが用いられるが、本発明（第2の発明）の特徴は、原料として、平均粒径7 μm 以上の粗粒タルクと粗粒タルクの平均粒子径の2/3以下の微粒タルクを組み合わせ、且つ、平均粒径7 μm 以上の粗粒カオリンと粗粒カオリンの平均粒径の2/3以下の微粒カオリンを組み合わせることである。この様な組み合わせを用いることにより、気孔率、及び外壁の表面粗さ（ $R_{a,}$ 、 R_{z} 、 DIN_s ）が第一の発明の範囲にはいるハニカム構造体を容易に製造することが出来る。粗粒タルクと微粒タルクの好ましい割合は10/90~60/40、粗粒カオリンと微粒カオリンの好ましい割合は10/90~60/40である。さらに、バンバリニードー、加圧ニードー、連続成形機等の練りが強く原料のパッキングが密になるような混練装置を用いて成形を行うことが、より気孔率が低く表面粗さの粗いハニカム構造体を製造する上で好ましい。なお、平均粒径とは、堀場製作所製LA-910（レーザー回折方式）で粒度分布を測定して得られた重量平均粒径をいう。

【0046】

【実施例】 次に、本発明を実施例によってさらに具体的に説明するが、本発明はこれらの実施例によって何ら制限を受けるものではない。なお、以下の実施例において、特に断りのない限り、配合比における%は重量%を意味する。

【0047】 ハニカム構造体の製造

実施例 1～4

表 1 に示す原料 100% に対して、ヒドロキシプロピルメチルセルロース 8% とラウリン酸カリ石鹼 0.5%、ポリエーテル 2%、水 28% をミキサーで混合し、連続成形機に投入し、壁厚 0.055 mm、セル密度 900 セル/ in^2 (140 セル/ cm^2) のハニカムを成形した。これを所定寸法に切断し、最高温度 1430℃ で 4 時間保持し焼成した。

比較例 1 及び 2

表 1 に示す原料 100% に対して、メチルセルロース 4% とステアリン酸ソーダ 0.7%、水 28% をオープン式シグマニーダーにて混練し坯土とした。これを真空度練機でシリンダー状坯土とし、これを押し出し成形機に投入し、壁厚 55 μm 、セル密度 900 セル/ in^2 (140 セル/ cm^2) のハニカムを成形した。これを所定寸法に切断し、最高温度 1430℃ で 4 時間保持し焼成した。

【0048】 実施例 1～4 及び比較例 1、2 で得られたハニカム構造体の気孔率、平均細孔径及び外壁の平均表面粗さ (R_a) 及び $R_z D I N_s$ を以下の方法により測定した。

気孔率の測定

測定装置 ポロシメーター(マイクロメリティクス社製、オートポア 9220 型装置)

測定手順

(1) ハニカム構造体から 0.1 g 以上の試料を切り出した。

(2) 試料を 150℃ で 2 時間乾燥後、容器に入れ装置にセットした。

(3) 容器内に水銀を注入し規定の細孔径に相当する圧力を加え、試料に吸収された水銀容積を求めた。

(4) 細孔分布は圧力と吸収された水銀容積から計算し求めた。

(5) 細孔容積は 68.6 MPa (700 kgf/ cm^2) の圧力を加え吸収された水銀容積から計算し求めた。

(6) 気孔率は、総細孔容積より、以下の式で求めた。

気孔率% = 総細孔容積 (1 g 当たり) $\times 100 /$ (総細孔容積 (1 g 当たり) + 1/2.52)

表面粗さの測定

規格: ISO 4287/1

測定装置: テーラー・ホブソン社製、表面粗さ形状測定機、フォームタリサーフ S4C

触針先端半径: 2 μm

測定速度: 1 mm/sec

測定方向: セル隔壁表面の長手方向に対して 90° (図 1 (b) において、D で示される方向)

測定長さ: 約 25 mm

測定箇所: 任意の 5 箇所を各 2 回測定しその平均値を測

定値とした。

【0049】 結果を表 1 に示した。比較例 1 で得られたハニカム構造体は、表面粗さ R_a 、及び $R_z D I N_s$ の値は大きくなったが、気孔率が 30% を超えてしまった。比較例 2 で得られたハニカム構造体は、気孔率は 30% より小さくなったが R_a 、及び $R_z D I N_s$ の値が小さくなってしまった。実施例 1～4 で得られたハニカム構造体は気孔率、 R_a 、及び $R_z D I N_s$ が本発明のハニカム構造体の範囲に入るものであった。以上の結果より、本発明の製造方法を用いることにより気孔率が 5% 以上 30% 未満であり、且つ $0.5 \mu\text{m} \leq R_a \leq 5 \mu\text{m}$ 及び/又は $5 \mu\text{m} \leq R_z D I N_s \leq 50 \mu\text{m}$ のハニカム構造体を容易に製造できることがわかった。

【0050】

【表 1】

試験No.	配合割合(wt%)										燃焼体の特性			
	タルクA (平均粒 径 μm)	タルクB (平均粒 径 μm)	カオリンA (平均粒 径 μm)	カオリンB (平均粒 径 μm)	7 μm ミナ (平均粒 径 μm)	水酸化7 μm ミナ (平均粒 径 μm)	シリカ (平均粒 径 μm)	平均粒子径比		気孔率 (%)	平均径 (μm)	外壁表面 粗さ (μm)	外壁表面 粗さ (μm)	外壁表面 粗さ (μm)
	20 (12)	21 (8)	10 (10)	32* (3)	10 (5)	7 (2)	-	タルクA/ タルクB	カオリンA/ カオリンB					
実施例1	20 (12)	21 (8)	10 (10)	32* (3)	10 (5)	7 (2)	-	1/0.67	1/0.3	30	4.1	1.9	13.6	
実施例2	5 (11)	35 (7)	5 (15)	32* (10)	8 (5)	13 (2)	2 (4)	1/0.64	1/0.87	28	3.6	1.7	12.1	
実施例3	20 (7)	20 (4)	20 (7)	17 (2.5)	8 (3)	13 (1.5)	2 (2)	1/0.57	1/0.43	22	2.7	1.3	9.3	
実施例4	10 (20)	30 (4)	12 (7)	10 (2.5)	16 (3)	12 (1.5)	10 (2)	1/0.2	1/0.43	26	8.6	1.5	10.5	
比較例1	40 (8)	-	20 (6)	17* (6)	8 (5)	13 (2)	2 (4)	-	1/1	31	4.3	1.9	13.2	
比較例2	41 (4.5)	-	20.5* (1)	25 (0.4)	13.5 (4)	-	-	-	1/0.4	27	1.8	0.4	4.0	

*低熱容量カオリン

【0051】 実施例5、6及び比較例3、4
 実施例1～4と同様の製造方法により、セル密度900
 $\text{セル}/\text{in}^2$ ($140\text{セル}/\text{cm}^2$)であって、表2に示
 すセル隔壁厚さ及び気孔率のハニカム構造体(実施例
 5、6及び比較例3、4)を作成し以下の方法で耐エロ
 ージョン性を評価した。

【0052】 耐エロージョン性の評価

ハニカム構造体を直列4気筒、排気量1.8リットルの
 ガソリンエンジンの排気ポートに、ハニカム構造体が把
 持、收容された金属キャンを接続した。即ち、サンプル
 をエンジンの直近に配置した。次に図5に示される条件

でエンジンを運転し、回転数が6000rpmとなった
 ところで砥粒(炭化珪素、GC320、平均粒径50 μ
 m)を0.1グラム投入した。さらに図5に示される条
 件でエンジンの運転を続け130秒を1サイクルとし
 て、2サイクルに1回砥粒を投入しこれを連続的に繰り
 返した。合計の砥粒投入量を約2g～16g程度まで変
 えて数回の試験を行い、その結果から砥粒投入量が10
 gのときのハニカム構造体のエロージョン量(風蝕体
 積)を算出した。エロージョン量は、図6に示すよう
 に、ハニカム構造体1のエロージョン量を測定する側の
 加工端面にゴムシートを巻きつけ、その中に直径1.5
 mmのセラミック製ビーズ20を約3mmの高さで敷き
 詰めた後回収してビーズ体積を測定し、エロージョン試
 験後のビーズ体積と試験前のビーズ体積との差を取るこ
 とにより測定し、これを3回行った平均をエロージョン
 量とした。

【0053】 結果を表2に示す。ここで、熱容量の指
 標として、各ハニカム構造体の嵩密度を算出した。比較
 例3のサンプルは、耐エロージョン性は良好であった
 が、嵩密度が大きく熱容量が大きいことを示している。
 比較例4のサンプルは、嵩密度は小さく熱容量は低い
 が、エロージョン量が大きく耐エロージョン性が悪かつ
 た。これに対して、実施例5及び6のサンプルは耐エロ
 ージョン性も嵩密度も低く耐エロージョン性と低熱容量
 化がバランス良く改良されたことがわかる。特に、実施
 例5及び6のサンプルと比較例4のサンプルは嵩密度、
 即ち熱容量が近いにもかかわらず実施例5及び6のサン
 プルが少ないエロージョン量を示し、本願発明のハニカ
 ム構造体は、低熱容量化と耐エロージョン性の向上がバ
 ランス良く達成されたことがわかる。

【0054】

【表2】

19

	セル密度 (セル/cm ²)	基本隔壁厚 (mm)	肉厚部隔壁厚 (mm)	開口率(P) (%)	気孔率 (%)	投入量10gでの エロージョン量(cm ³)	嵩密度 (g/cm ³)
実施例5	140	0.066	0.086	85.1	28	2.0	0.281
実施例6	140	0.062	0.062	85.9	26	3.8	0.283
比較例3	140	0.086	0.086	80.7	35	1.8	0.336
比較例4	140	0.071	0.071	83.9	35	5.0	0.284

10

20

30

【0055】 実施例7及び比較例5

実施例7及び比較例5として各々実施例6及び比較例4で得られたハニカム構造体に触媒を担持させ、上記と同様の耐エロージョン試験を行った。触媒の担持は、ハニカム構造体を、活性アルミナ及び触媒貴金属を含む溶液中に浸漬し、余分な溶液を除去した後に焼き付けることにより行った。結果を表3に示す。実施例7及び比較例5より、触媒を担持させることにより耐エロージョン性が向上したが、この場合においても本発明のハニカム構造体（実施例7）は、比較例5のハニカム構造体よりも良好な耐エロージョン性を示した。

【0056】

【表3】

20

	セル密度 (セル/cm ²)	基本隔壁厚 (mm)	肉厚部隔壁厚 (mm)	開口率(P) (%)	気孔率 (%)	投入量10gでの エロージョン量(cm ³)	嵩密度 (g/cm ³)
実施例7	140	0.062	0.062	85.9	26	0.4	0.283
比較例5	140	0.071	0.071	83.9	35	1.2	0.284

触媒担持品

【0057】 実施例5、比較例4で得られたサンプルの表面粗さを上記方法により測定し比較例2の結果と共に表4に示した。また、これらのサンプルの細孔分布を上記と同様の方法により測定した。さらに、これらのサンプルのキャニング性を以下の方法で測定した。サンプルであるハニカム構造体の周りに把持材（0.2g/cm³）を巻き、SUS製のキャンに把持させた後、温度600℃で押しぬき速度1mm/min.でハニカム構造体を押しぬいたときの最大荷重（N）を測定しキャニング製の指標とした。

【0058】 これらの結果を表4に示す。表4より、実施例5及び比較例4のサンプルのRa、及びRzDI N、は各々0.5μm以上、5μm以上であり、細孔分布は1μm以上の細孔径を有する細孔が90容量%以上であったが、比較例2のサンプルはRa、=0.4及び

RzDIN₀ = 4 であり、又細孔分布は 1 μm 以上の細孔径を有する細孔が 55 容量% であった。さらに、実施例 5 及び比較例 4 のサンプルの押しぬき強度は 480 N 及び 510 N と高い強度を示し良好なキャニング性を示*

* したが比較例 2 のサンプルの押しぬき強度は 205 N と低くキャニング性が十分でないことを示した。

【0059】

【表 4】

	Ra ₀ (μm)	RzDIN ₀ (μm)	押しぬき荷重 (N)
実施例 5	1.7	11.9	480
比較例 4	1.8	12.8	510
比較例 2	0.4	4	205

【0060】 実施例 8 及び比較例 6

次に、基本セル隔壁厚さに対して最外周のセルから内方へ 10 セルまでのセル隔壁厚さを表 5 に示すように厚くしたサンプル (図 2 に示すようなハニカム構造体) を実施例 1 ~ 4 と同様の方法で作成し、上記と同様の方法により触媒を担持させた後、上記と同様の方法にて耐エロージョン性を評価した。結果を表 5 に示す。本発明のサンプル (実施例 8) は基本壁厚が 0.056 mm と非常※

※に薄いにもかかわらず、比較的良好な耐エロージョン性を示した。比較例 6 で得られたサンプルも基本壁厚が 0.055 mm と薄いわりには比較的良好な耐エロージョン性を示したが、外周側壁厚が実施例 8 のサンプルより厚いにもかかわらず実施例 8 のサンプルよりも多いエロージョン量を示した。

【0061】

【表 5】

	セル密度 (セル/cm ²)	基本隔壁厚 (mm)	肉厚部隔壁厚 (mm)	開口率(P) (%)	気孔率 (%)	投入量 10g での エロージョン量 (cm ³)
実施例 8	140	0.056	0.072	86.3	27	1.0
比較例 6	140	0.055	0.081	85.9	35	1.8

【0062】 実施例 9 及び 10

実施例 1 ~ 4 と同様の方法で基本セル隔壁厚さ 0.047 mm、最外周セルから内方へ 10 セルまでのセル隔壁厚さ 0.067 mm、気孔率 27% のサンプルを作成し、上記と同様の方法で触媒を担持させ、さらに排気ガスの当たる端面から 5 mm の部分の気孔率を以下の方法により 18% と低下させた後、上記と同様の方法で耐エロージョン性を評価した。

【0063】 端面気孔率低下方法

セルペンに水を加え混ぜた後、シリカゾルを加え混ぜ、さらに界面活性剤を加え混ぜることにより、微粒セルペン (1 ~ 2 μm) 固形分を全体の 90 重量%、コロイダルシリカ (シリカゾル 30 重量%) 固形分を全体の 10 重量% に界面活性剤が微量添加された成分が全体の 40 重量%、水が全体の 60 重量% の比のスラリーを作成した。次に、ハニカム構造体を乾燥機にて 150℃、1 時間以上加熱乾燥させた後取りだして重量を測定した。このハニカム構造体を常温になるまで放置した後、容器に端面強化深さまでスラリーを入れハニカム構造体を容器底まで付く様に 1 ~ 2 秒間含浸させた。ハニカム構造体を持ち上げ、振ってある程度液を落とした後、エアブローにて内部液を除去した。目詰まりが無いことを確認した後ホットブラスターにて乾燥 (約 130℃、風速 2 m/秒、3 分以上) 後、さらに乾燥機にて乾燥 (150℃、1 時間以上) した。これを上記ハニカム構造体の焼成条件にて焼成して、端面の気孔率を低下させた。

【0064】 表 6 に端面の気孔率を低下させなかった

サンプル (実施例 9) 及び端面の気孔率を低下させたサンプル (実施例 10) の耐エロージョン性試験の結果を示す。基本セル隔壁厚さを 0.047 mm とすると、外周部側のセル隔壁を厚くしてもかなりのエロージョン量 (3.3 cm³) を示したが、端面の気孔率をさらに低下させることによりエロージョン量は 1.8 cm³ に改良された。

【0065】

【表 6】

	セル密度 (セル/cm ²)	基本隔壁厚 (mm)	肉厚部隔壁厚 (mm)	開口率(P) (%)	気孔率 (%)	投入量10gでの エロージョン量(cm ³)	端面の気孔率 (%)
実施例9	140	0.047	0.067	88.6	27	3.3	27
実施例10	140	0.047	0.067	88.6	27	1.8	18

* 【0066】

【発明の効果】 以上のように、本発明のハニカム構造体は、耐エロージョン性、低熱容量化及びキャニング性がバランス良く改良され、各種フィルターや触媒担体、特に自動車排気ガス浄化用触媒担体として有用なものである。また、本発明のハニカム構造体の製造方法は、低気孔率であるとともに外壁及び／又はセル隔壁の表面粗さの粗いハニカム構造体を容易に且つ経済的に製造することが出来、上記特質（良好な耐エロージョン性、低熱容量及び良好なキャニング性）を有するハニカム構造体の製造に有用な方法である。

【図面の簡単な説明】

【図1】 本発明のハニカム構造体の一例を模式的に示す説明図であり、(a)は斜視図、(b)は平面図、(c)は側面図を各々示す。

【図2】 本発明の一実施態様である外壁近傍のセル隔壁を厚くした例を模式的に示す部分拡大図である。

【図3】 本発明のハニカム構造体の一実施態様である断面説明図であり、(a)は逆台形状、(b)は糸巻き状、(c)は長方形のセル隔壁を各々示す。

【図4】 本発明のハニカム構造体をコンバーター容器に組み込んだ例を模式的に示す説明図である。

【図5】 エロージョン試験におけるエンジン回転数の条件を示す図である。

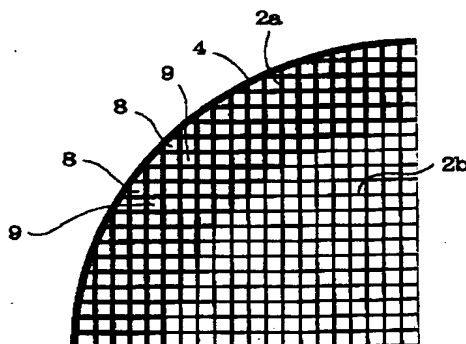
【図6】 エロージョン量の測定方法を模式的に示す説明図である。

【符号の説明】

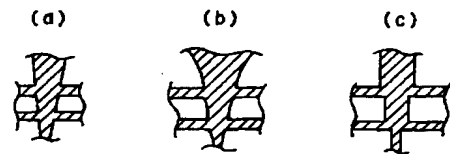
1…ハニカム構造体、2…セル隔壁、2a…外周セル隔壁、2b…基本セル隔壁、3…セル、4…外壁、8…最外周セル、9…最外周から2番目のセル、10…開口端面、11…コンバーター容器、12…リング、13…ハニカム構造体、14…把持材、20…ビーズ。

*

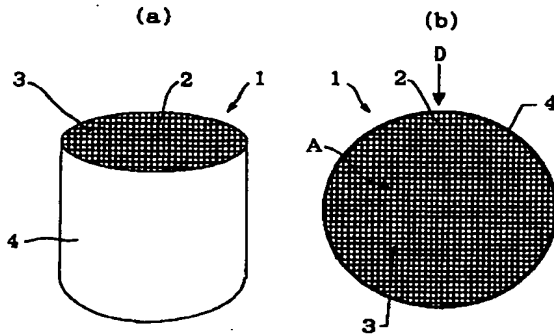
【図2】



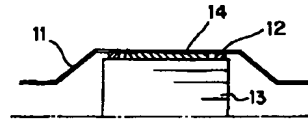
【図3】



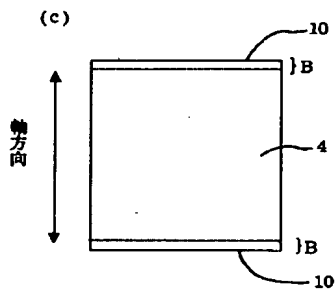
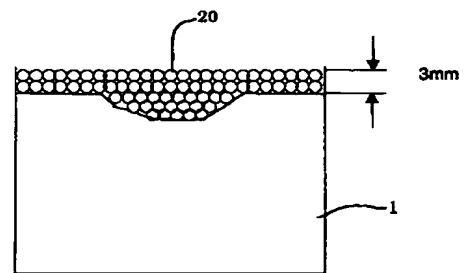
【図1】



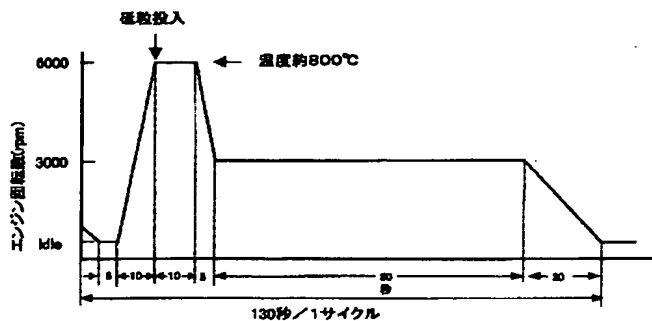
【図4】



【図6】



【図5】



フロントページの続き

(51) Int. Cl.⁷F 0 1 N 3/02
3/28

識別記号

3 0 1
3 0 1

F I

F 0 1 N 3/28
B 0 1 D 53/36

テーマコード(参考)

3 0 1 P 4 G 0 6 9
C

(72) 発明者 小川 雅人

愛知県名古屋市長区須田町2番56号 日
本碍子株式会社内

BEST AVAILABLE COPY

F ターム(参考) 3G090 AA02 EA02
3G091 AA02 AB01 AB13 BA07 BA39
GA06 GA16 GA17 GB01X
GB10X GB13X GB15X GB17X
4D019 AA01 BA05 BB06 BC07 BC12
CA01
4D048 BB02 BB12 BB15 BB17
4G054 AA05 AB09 BD00
4G069 AA01 AA08 CA03 DA05 EA19
EA25 EA26 EA27 EB15X
EB16X EC09X EC09Y EC30